

Katowice, dn. 2026-04-17

Orange Polska S.A.  
Al. Jerozolimskie 160  
02-326 Warszawa

Pełnomocnik: Paulina Ciesielska  
Pełnomocnictwo numer: 172/01/21  
z dnia: 2021-01-13

**dane do korespondencji:**

**NetWorks Sp. z o.o.**  
ul. Abpa Baraniaka 6  
61-131 Poznań  
tel. 538897717  
AE:PL-75331-40483-VAGTH-20

**Starosta Buski**  
**Starostwo Powiatowe w Busku-Zdroju**  
**ul. Mickiewicza 15**  
**28-100 Busko-Zdrój**  
**AE:PL-34940-25195-CGBDS-29**

**Dotyczy:** ustawowego obowiązku, wynikającego z art. 152 ust. 1 i ust. 7 w związku z ust. 6 pkt 1c ustawy z dnia 27 kwietnia 2001r – Prawo ochrony środowiska (Dz.U. 2024 poz. 54).

Działając z upoważnienia Orange Polska S.A. z siedzibą Al. Jerozolimskie 160, 02-326 Warszawa, **informuję o zmianie danych w zakresie wielkości i rodzaju emisji** dla instalacji radiokomunikacyjnej **1926 (27134N!) BUSKO ZDRÓJ (KKI\_BUSKOZDRO\_MICKIEWICZA11)** zlokalizowanej w miejscowości BUSKO-ZDRÓJ, AL. ADAMA MICKIEWICZA 11. W stosunku do informacji zawartej w zgłoszeniu realizowanym dla tej instalacji w trybie art. 152 ust. 1 i 5 ustawy z dnia 27 kwietnia 2001r – Prawo ochrony środowiska (Dz.U. 2024 poz. 54), dane ulegają zmianie w następujący sposób:

**9. Wielkość i rodzaj emisji<sup>2)</sup>:**

Pole elektromagnetyczne. EIRP poszczególnych anten zostało podane w pkt 12, tj.

| Lp. | Równoważna moc promieniowana izotropowo (EIRP) [W] |
|-----|--|
| 1.  | 80380  |
| 2.  | 19203  |
| 3.  | 40286  |

| Lp. | Równoważna moc promieniowana izotropowo (EIRP) [W] |
|-----|--|
| 4.  | 80380  |
| 5.  | 19203  |
| 6.  | 40286  |
| 7.  | 80380  |
| 8.  | 19203  |
| 9.  | 40286  |
| 10. | 5637/6310  |
| 11. | 1779   |

**12. Szczegółowe dane, odpowiednio do rodzaju instalacji, zgodne z wymaganiami określonymi w załączniku nr 2 do Rozporządzenia:**

| Lp. | 1)                        | 2)  | 3)   | 4)   | 5)         |   |
|-----|---------------------------|---|--|--|------------|---|
|     | Współrzędne geograficzne  | Częstotliwość lub zakresy częstotliwości pracy instalacji [MHz] | Wysokość środka elektrycznego anteny [m n.p.t] | Równoważna moc promieniowana izotropowo (EIRP) [W] | Azymut [°] | Kąt pochylenia lub zakresy kątów pochylenia [°] |
| 1.  | 20°43'13"<br>50°28'6.8"   | 3600  | 35.7   | 80380  | 0          | -2-13   |
| 2.  | 20°43'13"<br>50°28'6.8"   | 800/900/2600  | 37   | 19203  | 0          | 2-12/2-12/<br>2-12                              |
| 3.  | 20°43'13"<br>50°28'6.8"   | 1800/2100   | 37   | 40286  | 0          | 0-10/0-10                                       |
| 4.  | 20°43'13"<br>50°28'6.7"   | 3600  | 35.7   | 80380  | 100        | -2-13   |
| 5.  | 20°43'13"<br>50°28'6.8"   | 800/900/2600  | 37   | 19203  | 100        | 2-12/2-12/<br>2-12                              |
| 6.  | 20°43'13"<br>50°28'6.7"   | 1800/2100   | 37   | 40286  | 100        | 0-10/0-10                                       |
| 7.  | 20°43'12.8"<br>50°28'6.6" | 3600  | 32.7   | 80380  | 190        | -2-13   |
| 8.  | 20°43'12.8"<br>50°28'6.6" | 800/900/2600  | 34   | 19203  | 190        | 2-12/2-12/<br>2-12                              |
| 9.  | 20°43'12.8"<br>50°28'6.6" | 1800/2100   | 34   | 40286  | 190        | 0-10/0-10                                       |
| 10. | 20°43'12.7"<br>50°28'6.7" | 23000/80000   | 39   | 5637/6310  | 343*       | nd.   |
| 11. | 20°43'12.9"<br>50°28'6.8" | 80000   | 39   | 1779   | 359*       | nd.   |

\*) tolerancja azymutu od -10° do +10°.

Informuję, iż dokonane zmiany w zakresie wielkości i rodzaju emisji przedmiotowej instalacji nie powodują zmiany instalacji w sposób istotny zgodnie z art. 3 pkt 7 ustawy Poś.

W załączniku przesyłam:

1. Pełnomocnictwo
2. Kopia potwierdzenia wniesienia opłaty skarbowej.
3. Sprawozdanie z pomiarów pól elektromagnetycznych wykonanych dla celów ochrony środowiska.

Otrzymują:

1. a/a
2. adresat



Signed by /  
Podpisano przez:

Paulina Ciesielska

Date / Data: 2026-  
04-17 13:59



NetWorks Sp. z o.o.  
Laboratorium Badań Środowiskowych  
ul. Józefa Piłsudskiego 3  
00-728 Warszawa  
e-mail: [Laboratorium@networks.pl](mailto:Laboratorium@networks.pl)



AB 419

S P R A W O Z D A N I E 12339/2025/OS  
Z POMIARÓW PÓL ELEKTROMAGNETYCZNYCH  
WYKONANYCH DLA POTRZEB OCHRONY ŚRODOWISKA

Badany obiekt: Instalacja radiokomunikacyjna Orange Polska S.A.  
Numer i nazwa: 1926 (27134N!) BUSKO ZDRÓJ (KKI\_BUSKOZDRO\_MICKIEWICZA11)  
Adres: BUSKO-ZDRÓJ, AL. ADAMA MICKIEWICZA 11, Powiat buski, WOJ. ŚWIĘTOKRZYSKIE

Data wykonania pomiarów: 2026-04-15

Sprawozdanie z badań bez pisemnej zgody laboratorium nie może być powielane inaczej niż w całości.  
Wynik przedstawione w niniejszym sprawozdaniu odnoszą się wyłącznie do badanego obiektu i do warunków i konfiguracji urządzeń w dniu wykonywania pomiarów.

**1. Właściciel badanego obiektu:**

Orange Polska S.A., Al. Jerozolimskie 160, 02-326 Warszawa

**2. Zleceniodawca:**

Orange Polska S.A., Al. Jerozolimskie 160, 02-326 Warszawa

**3. Przedstawiciel zleceniodawcy:**

NetWorks Sp. z o.o.

**4. Zakres zlecenia:**

Wykonanie badania i opracowanie sprawozdania z pomiarów natężenia pola elektrycznego i pola magnetycznego dla instalacji radiokomunikacyjnej Orange Polska S.A. zlokalizowanej w miejscowości BUSKO-ZDRÓJ, AL. ADAMA MICKIEWICZA 11.

**5. Cel zlecenia:**

Wykonanie pomiarów pól elektromagnetycznych w otoczeniu instalacji radiokomunikacyjnej 1926 (27134N!) BUSKO ZDRÓJ (KKI\_BUSKOZDRO\_MICKIEWICZA11) w odniesieniu do wymagań określonych w *Rozporządzeniu Ministra Klimatu z dnia 17 lutego 2020 r. w sprawie sposobów sprawdzania dotrzymania dopuszczalnych poziomów pól elektromagnetycznych w środowisku (Dz.U. 2022 poz. 2630)*.

**6. Pomiary zostały wykonane przez:**

Stanisławek Jakub  
Podstawek Łukasz

**7. Informacje o źródłach pól elektromagnetycznych**

**7.1. Sposób identyfikacji badanych źródeł pól elektromagnetycznych**

Identyfikacji źródeł i parametrów technicznych dokonano na podstawie analizy dokumentacji dotyczącej zlecenia oraz obserwacji miejsca wykonywania badań.

**7.2. Opis miejsca zainstalowania anten i urządzeń technicznych. Opis obiektu badań i jego otoczenia**

Instalacja radiokomunikacyjna zlokalizowana jest na terenie ogrodzonym. Anteny zawieszono na wieży kratowej. Urządzenia sterujące oraz zasilające zainstalowano w pomieszczeniu w budynku. Wokół instalacji znajduje się miasto.

Instalacja radiokomunikacyjna jest obiektem bezobsługowym. Okresowe stanowiska pracy związane są z prowadzonymi w zależności od potrzeb konserwacjami, przeglądami, strojeniem i naprawami.

### 7.3. Parametry techniczne źródła pola elektromagnetycznego

Dane przedstawiające maksymalne parametry pracy instalacji przekazane przez zleceniodawcę:

Parametry systemu nadawczo-odbiorczego:

| Charakterystyka promieniowania  |  | Kierunkowa           |              |            |                          |   |  |
|---------------------------------|--|----------------------|--------------|------------|--------------------------|---|--|
| Rzeczywisty czas pracy [h/dobę] |  | 24                   |              |            |                          |   |  |
| Warunki pracy                   |  | Znamionowe           |              |            |                          |   |  |
| Rodzaj wytwarzanego pola        |  | Stacjonarne          |              |            |                          |   |  |
| Lp.                             | Częstotliwość lub zakresy częstotliwości pracy [MHz] | Typ/producent anteny | liczba anten | Azymut [°] | kąt pochylenia [°]       | Wysokość środka elektrycznego anteny [m n.p.t.] | Równoważna moc promieniowana izotropowo (EIRP) [W] |
| 1                               | 3600   | AAU5356 Huawei       | 1            | 0          | -2-13**                  | 35.7  | 80380  |
| 2                               | 800/900/2600   | ASI4518R39v07 Huawei | 1            | 0          | 2-12**/2-12**/<br>2-12** | 37  | 19203  |
| 3                               | 1800/2100  | AAU5726e Huawei      | 1            | 0          | 0-10**/0-10**            | 37  | 40286  |
| 4                               | 3600   | AAU5356 Huawei       | 1            | 100        | -2-13**                  | 35.7  | 80380  |
| 5                               | 800/900/2600   | ASI4518R39v07 Huawei | 1            | 100        | 2-12**/2-12**/<br>2-12** | 37  | 19203  |
| 6                               | 1800/2100  | AAU5726e Huawei      | 1            | 100        | 0-10**/0-10**            | 37  | 40286  |
| 7                               | 3600   | AAU5356 Huawei       | 1            | 190        | -2-13**                  | 32.7  | 80380  |
| 8                               | 800/900/2600   | ASI4518R39v07 Huawei | 1            | 190        | 2-12**/2-12**/<br>2-12** | 34  | 19203  |
| 9                               | 1800/2100  | AAU5726e Huawei      | 1            | 190        | 0-10**/0-10**            | 34  | 40286  |

\* wskazane wartości kąta pochylenia anten, zgodnie z informacją uzyskaną od zleceniodawcy, są wartościami stałymi  
 \*\* pomiary wykonano zgodnie z pkt 13., ppkt 2 załącznika do Rozporządzenia Ministra Klimatu z dnia 17 lutego 2020 r. (Dz. U. 2022, poz. 2630).

Parametry radiolinii:

| Charakterystyka promieniowania  |   | kierunkowa                |  |                  |                     |            |                                   |
|---------------------------------|---|---------------------------|--|------------------|---------------------|------------|-----------------------------------|
| Rzeczywisty czas pracy [h/dobę] |   | 24                        |  |                  |                     |            |                                   |
| Warunki pracy                   |   | znamionowe                |  |                  |                     |            |                                   |
| Rodzaj wytwarzanego pola        |   | stacjonarne               |  |                  |                     |            |                                   |
| Lp.                             | Linia radiowa   |                           |  | Antena           |                     |            |                                   |
|                                 | Typ/ Producent  | Częstotliwość pracy [GHz] | Równoważna moc promieniowana izotropowo (EIRP) [W] | Typ/ producent   | Średnica anteny [m] | Azymut [°] | Wysokość zainstalowania n.p.t [m] |
| 1.                              | RTN XMC-5D 23G 28MHz XPIC/RTN 380AX DC 70/80GHz 500MHz Huawei | 23/80                     | 5637/6310  | A23D80S06 Huawei | 0.6                 | 343        | 39                                |
| 2.                              | RTN 380AX DC 70/80GHz 500MHz Huawei                           | 80                        | 1779   | A80D03 Huawei    | 0.3                 | 359        | 39                                |

### 7.4 Inne źródła pól elektromagnetycznych

Na podstawie informacji otrzymanych od użytkownika oraz obserwacji otoczenia miejsca wykonywania pomiarów stwierdzono występowanie innych źródeł pola-EM, pracujących w systemach: RTV (87,5MHz-790MHz), telefonii komórkowej (800MHz-3800MHz), linii radiowych (5GHz-40GHz), które istotnie wpływają na wyniki pomiarów.

Sprawozdanie z badań bez pisemnej zgody laboratorium nie może być powielane inaczej niż w całości.  
 Wynik przedstawione w niniejszym sprawozdaniu odnoszą się wyłącznie do badanego obiektu i do warunków i konfiguracji urządzeń w dniu wykonywania pomiarów.

## 8. Opis pomiarów

### 8.1. Metoda badań

Zgodna z rozporządzeniem Ministra Klimatu z dnia 17 lutego 2020 r. w sprawie sposobów sprawdzania dotrzymania dopuszczalnych poziomów pól elektromagnetycznych w środowisku (Dz.U. 2022 poz. 2630), określona w pkt 25 ppkt 1 załącznika do niniejszego rozporządzenia.

### 8.2. Termin pomiarów i warunki środowiskowe

Podczas wykonywania pomiarów pól elektromagnetycznych nie występowały opady atmosferyczne. Wyniki pomiaru parametrów pogodowych przedstawia poniższa tabela:

| Data<br>[rrrr-mm-dd] | Godzina<br>[hh:mm-hh:mm] | Warunki środowiskowe |              |                         |              |
|----------------------|--------------------------|----------------------|--------------|-------------------------|--------------|
|                      |                          | Temperatura [°C]     |              | Wilgotność względna [%] |              |
| 2026-04-15           | 08:45-10:40              | Przed pomiarem       | Po pomiarach | Przed pomiarem          | Po pomiarach |
|                      |                          | 10.3                 | 13.4         | 70.3                    | 66.6         |

Przedstawione wyżej warunki środowiskowe, występujące podczas wykonywania pomiarów pól elektromagnetycznych, są zgodne ze specyfikacją techniczną użytego zestawu pomiarowego.

### 8.3. Warunki pracy urządzeń nadawczych

Podczas pomiarów w przypadku uzyskania wyniku pomiaru szerokopasmowego wykonanego zastosowaną metodą, dla zakresów częstotliwości od 10 MHz do 300 GHz, powiększonego o rozszerzoną niepewność pomiaru  $U$  dla współczynnika rozszerzenia  $k = 2$  przekraczającego 70% najniższej dopuszczalnej wartości składowej elektrycznej lub magnetycznej pola dla objętych pomiarami zakresów częstotliwości, uwzględnia się poprawki pomiarowe przekazane przez zleceniodawcę, umożliwiające uwzględnienie maksymalnych parametrów pracy instalacji zgodnie z pkt 7 załącznika do Rozporządzeniem Ministra Klimatu z dnia 17 lutego 2020 r. w sprawie sposobów sprawdzania dotrzymania dopuszczalnych poziomów pól elektromagnetycznych w środowisku (Dz. U. 2022, poz. 2630) zaznaczając, że wymagane jest wykonanie pomiaru z wykorzystaniem miernika selektywnego. W przypadku uzyskania wyniku pomiaru szerokopasmowego wykonanego zastosowaną metodą, dla zakresów częstotliwości od 10 MHz do 300 GHz, powiększonego o rozszerzoną niepewność pomiaru  $U$  dla współczynnika rozszerzenia  $k = 2$  nieprzekraczającego 70% najniższej dopuszczalnej wartości składowej elektrycznej lub magnetycznej pola dla objętych pomiarami zakresów częstotliwości, nie uwzględnia się poprawek pomiarowych.

### 8.4. Wyposażenie pomiarowe

Zestaw pomiarowy służący do pomiaru natężenia składowej elektrycznej pola elektromagnetycznego złożony z szerokopasmowego miernika i sondy pomiarowej:

| Oznaczenie miernika | Producent   | Model                                 | Numer fabryczny | Oznaczenie sondy | Producent   | Model       | Numer fabryczny |
|---------------------|-------------|---------------------------------------|-----------------|------------------|-------------|-------------|-----------------|
| MW-03               | Wavecontrol | Miernik pól elektromagnetycznych SMP2 | 22SN1954        | SW-05            | Wavecontrol | Sonda WPF60 | 22WP230194      |

Mierniki natężenia pola elektromagnetycznego podlegają okresowemu sprawdzeniu zgodnie z procedurą wewnętrzną P-03 i PB-01. Świadectwo wzorcowania zestawu pomiarowego z dnia 18 września 2024 o numerze LWIMP/W/265/24 wydane przez Politechnika Wrocławską.  
Data ważności świadectwa wzorcowania: 22 lipca 2026 (zgodnie z procedurą wewnętrzną P-03).

| Oznaczenie miernika | Producent   | Model                                 | Numer fabryczny | Oznaczenie sondy | Producent   | Model         | Numer fabryczny |
|---------------------|-------------|---------------------------------------|-----------------|------------------|-------------|---------------|-----------------|
| MW-03               | Wavecontrol | Miernik pól elektromagnetycznych SMP2 | 22SN1954        | SW-06            | Wavecontrol | Sonda WPF3-HP | 22WP030431      |

Mierniki natężenia pola elektromagnetycznego podlegają okresowemu sprawdzeniu zgodnie z procedurą wewnętrzną P-03 i PB-01. Świadectwo wzorcowania zestawu pomiarowego z dnia 6 listopada 2024 o numerze LWIMP/W/391/24 wydane przez Politechnika Wrocławską.  
Data ważności świadectwa wzorcowania: 6 listopada 2026 (zgodnie z procedurą wewnętrzną P-03).

#### Termohigrometr:

|             |       |            |       |        |                          |
|-------------|-------|------------|-------|--------|--------------------------|
| Oznaczenie: | TH-38 | Producent: | TESTO | Model: | Termohigrometr TESTO 625 |
|-------------|-------|------------|-------|--------|--------------------------|

Data ważności świadectwa wzorcowania: 20 lutego 2028 (zgodnie z procedurą wewnętrzną P-03).

Sprawozdanie z badań bez pisemnej zgody laboratorium nie może być powielane inaczej niż w całości.  
Wynik przedstawione w niniejszym sprawozdaniu odnoszą się wyłącznie do badanego obiektu i do warunków i konfiguracji urządzeń w dniu wykonywania pomiarów.

Dalmierz:

| Oznaczenie | Producent | Typ                             | Numer seryjny | Nr świadectwa wzorcowania     | Data świadectwa wzorcowania |
|------------|-----------|---------------------------------|---------------|-------------------------------|-----------------------------|
| D-06       | Leica     | Dalmierz<br>Leica Disto<br>X310 | 842350228     | Z3-<br>Z32.4180.34.2025.826.1 | 26 marca 2025               |

Data ważności świadectwa wzorcowania: 26 marca 2035 (zgodnie z procedurą wewnętrzną P-03).

Odbiornik GNSS:

| Odbiornik GNSS wbudowany w miernik natężenia pola elektromagnetycznego użyty podczas pomiarów | Producent | Model   |
|---|-----------|---------|
|   | UBlox     | MAX-M8Q |

Odbiorniki podlegają okresowemu sprawdzeniu zgodnie z procedurą wewnętrzną P-03.

9. Wyniki pomiarów

Pole elektryczne

| Nr pionu | Opis umiejscowienia pionu (punktu) pomiarowego  | Wysokość pomiaru [m] | Zmierzona wartość natężenia pola elektrycznego E [V/m] <sup>1,5</sup> |             |         | Wartość natężenia pola elektrycznego powiększona o niepewność pomiaru <sup>4</sup> E [V/m] | Wskaźnikowa wartość poziomu emisji pól elektromagnetycznych WME <sup>3</sup> | Współrzędne geograficzne pionu (punktu) pomiarowego <sup>2</sup> |
|----------|---|----------------------|---|-------------|---------|--|--|--|
|          |   |                      | Sonda SW-05   | Sonda SW-06 | Wartość |  |  |  |
| 1        | GKP w odległości poziomej 54m od anteny radioliniowej az. 343°                                      | 0.3-2.0              | <1.0*   | <1.0*       | <1.0*   | 1.3  | 0.05   | 50°28'8.4"<br>20°43'12.0"  |
| 2        | GKP w odległości poziomej 129m od anteny radioliniowej az. 343°                                     | 0.3-2.0              | <1.0*   | <1.0*       | <1.0*   | 1.3  | 0.05   | 50°28'10.6"<br>20°43'10.6"                                       |
| 3        | GKP w odległości poziomej 52m od anteny radioliniowej az. 359°                                      | 0.3-2.0              | <1.0*   | <1.0*       | <1.0*   | 1.3  | 0.05   | 50°28'8.4"<br>20°43'12.7"  |
| 4        | DPP - w płaszczyźnie otworu okiennego Magazyn , na parterze, Aleja Adama Mickiewicza 9, Busko-Zdrój | 0.3-2.0              | <1.0*   | <1.0*       | <1.0*   | 1.3  | 0.05   | 50°28'7.3"<br>20°43'12.4"  |
| 5        | GKP w odległości poziomej 40m od anteny sektorowej az. 0°   | 2.0                  | 2.0   | 2.0         | 2.0     | 2.6  | 0.09   | 50°28'8.0"<br>20°43'13.1"  |
| 6        | GKP w odległości poziomej 74m od anteny sektorowej az. 0°   | 2.0                  | 2.2   | 2.2         | 2.2     | 2.8  | 0.1  | 50°28'9.1"<br>20°43'13.1"  |
| 7        | GKP w odległości poziomej 41m od anteny sektorowej az. 190°   | 2.0                  | 2.8   | 2.8         | 2.8     | 3.6  | 0.13   | 50°28'5.2"<br>20°43'12.4"  |
| 8        | GKP w odległości poziomej 76m od anteny sektorowej az. 190°   | 2.0                  | 1.8   | 1.8         | 1.8     | 2.3  | 0.08   | 50°28'4.1"<br>20°43'12.0"  |
| 9        | GKP w odległości poziomej 113m od anteny sektorowej az. 190°  | 2.0                  | 1.3   | 1.3         | 1.3     | 1.7  | 0.06   | 50°28'3.0"<br>20°43'11.6"  |
| -        | GKP w odległości poziomej 153m od anteny sektorowej az. 190°  | 0.3-2.0              | <1.0*   | <1.0*       | <1.0*   | 1.3  | 0.05   | 50°28'1.6"<br>20°43'11.3"  |

Sprawozdanie z badań bez pisemnej zgody laboratorium nie może być powielane inaczej niż w całości.

Wynik przedstawione w niniejszym sprawozdaniu odnoszą się wyłącznie do badanego obiektu i do warunków i konfiguracji urządzeń w dniu wykonywania pomiarów.

|    |   |         |       |       |       |     |      |                           |
|----|---|---------|-------|-------|-------|-----|------|---------------------------|
| -  | GKP w odległości poziomej 207m od anteny sektorowej az. 190°            | 0.3-2.0 | <1.0* | <1.0* | <1.0* | 1.3 | 0.05 | 50°28'0.1"<br>20°43'10.9" |
| 12 | GKP w odległości poziomej 40m od anteny sektorowej az. 100°             | 2.0     | 3.0   | 3.0   | 3.0   | 3.9 | 0.14 | 50°28'6.6"<br>20°43'14.9" |
| 13 | GKP w odległości poziomej 71m od anteny sektorowej az. 100°             | 2.0     | 1.5   | 1.5   | 1.5   | 1.9 | 0.07 | 50°28'6.2"<br>20°43'16.7" |
| 14 | GKP w odległości poziomej 112m od anteny sektorowej az. 100°            | 2.0     | 1.5   | 1.5   | 1.5   | 1.9 | 0.07 | 50°28'6.2"<br>20°43'18.5" |
| 15 | GKP w odległości poziomej 148m od anteny sektorowej az. 100°            | 2.0     | 2.3   | 2.3   | 2.3   | 3   | 0.11 | 50°28'5.9"<br>20°43'20.3" |
| -  | GKP w odległości poziomej 219m od anteny sektorowej az. 100°            | 0.3-2.0 | <1.0* | <1.0* | <1.0* | 1.3 | 0.05 | 50°28'5.5"<br>20°43'23.9" |
| 17 | PKP na az. 233° w odległości poziomej 61m od anteny sektorowej az. 190° | 0.3-2.0 | <1.0* | <1.0* | <1.0* | 1.3 | 0.05 | 50°28'5.5"<br>20°43'10.2" |
| 18 | PKP na az. 230° w odległości poziomej 50m od anteny sektorowej az. 190° | 0.3-2.0 | <1.0* | <1.0* | <1.0* | 1.3 | 0.05 | 50°28'5.5"<br>20°43'10.9" |
| 19 | PKP na az. 218° w odległości poziomej 70m od anteny sektorowej az. 190° | 0.3-2.0 | <1.0* | <1.0* | <1.0* | 1.3 | 0.05 | 50°28'4.8"<br>20°43'10.6" |
| 20 | PKP na az. 204° w odległości poziomej 70m od anteny sektorowej az. 190° | 2.0     | 1.8   | 1.8   | 1.8   | 2.3 | 0.08 | 50°28'4.4"<br>20°43'11.3" |
| 21 | PKP na az. 202° w odległości poziomej 51m od anteny sektorowej az. 190° | 2.0     | 2.2   | 2.2   | 2.2   | 2.8 | 0.1  | 50°28'5.2"<br>20°43'12.0" |
| 22 | PKP na az. 176° w odległości poziomej 64m od anteny sektorowej az. 190° | 2.0     | 2.2   | 2.2   | 2.2   | 2.8 | 0.1  | 50°28'4.4"<br>20°43'13.1" |
| 23 | PKP na az. 178° w odległości poziomej 71m od anteny sektorowej az. 190° | 2.0     | 2.2   | 2.2   | 2.2   | 2.8 | 0.1  | 50°28'4.4"<br>20°43'13.1" |
| 24 | PKP na az. 162° w odległości poziomej 59m od anteny sektorowej az. 190° | 2.0     | 2.2   | 2.2   | 2.2   | 2.8 | 0.1  | 50°28'4.8"<br>20°43'13.8" |
| 25 | PKP na az. 150° w odległości poziomej 38m od anteny sektorowej az. 190° | 2.0     | 3.3   | 3.3   | 3.3   | 4.3 | 0.15 | 50°28'5.5"<br>20°43'13.8" |
| 26 | PKP na az. 146° w odległości poziomej 54m od anteny sektorowej az. 190° | 2.0     | 2.8   | 2.8   | 2.8   | 3.6 | 0.13 | 50°28'5.2"<br>20°43'14.2" |
| 27 | PKP na az. 144° w odległości poziomej 56m od anteny sektorowej az. 100° | 2.0     | 1.3   | 1.3   | 1.3   | 1.7 | 0.06 | 50°28'5.2"<br>20°43'14.9" |
| 28 | PKP na az. 140° w odległości poziomej 62m od anteny sektorowej az. 100° | 2.0     | 1.8   | 1.8   | 1.8   | 2.3 | 0.08 | 50°28'5.2"<br>20°43'14.9" |
| 29 | PKP na az. 128° w odległości poziomej 74m od anteny sektorowej az. 100° | 2.0     | 1.8   | 1.8   | 1.8   | 2.3 | 0.08 | 50°28'5.2"<br>20°43'16.0" |

Sprawozdanie z badań bez pisemnej zgody laboratorium nie może być powielane inaczej niż w całości.  
 Wynik przedstawione w niniejszym sprawozdaniu odnoszą się wyłącznie do badanego obiektu i do warunków i konfiguracji urządzeń w dniu wykonywania pomiarów.

|    |   |         |       |       |       |     |      |                           |
|----|---|---------|-------|-------|-------|-----|------|---------------------------|
| 30 | PKP na az. 115° w odległości poziomej 75m od anteny sektorowej az. 100°                       | 0.3-2.0 | <1.0* | <1.0* | <1.0* | 1.3 | 0.05 | 50°28'5.9"<br>20°43'16.3" |
| 31 | PKP na az. 111° w odległości poziomej 72m od anteny sektorowej az. 100°                       | 0.3-2.0 | <1.0* | <1.0* | <1.0* | 1.3 | 0.05 | 50°28'5.9"<br>20°43'16.3" |
| 32 | PKP na az. 86° w odległości poziomej 66m od anteny sektorowej az. 100°                        | 2.0     | 2.3   | 2.3   | 2.3   | 3   | 0.11 | 50°28'7.0"<br>20°43'16.3" |
| 33 | PKP na az. 88° w odległości poziomej 48m od anteny sektorowej az. 100°                        | 2.0     | 2.3   | 2.3   | 2.3   | 3   | 0.11 | 50°28'7.0"<br>20°43'15.6" |
| 34 | PKP na az. 72° w odległości poziomej 75m od anteny sektorowej az. 100°                        | 2.0     | 1.5   | 1.5   | 1.5   | 1.9 | 0.07 | 50°28'7.3"<br>20°43'16.7" |
| 35 | PKP na az. 60° w odległości poziomej 75m od anteny sektorowej az. 100°                        | 0.3-2.0 | <1.0* | <1.0* | <1.0* | 1.3 | 0.05 | 50°28'8.0"<br>20°43'16.3" |
| 36 | PKP na az. 57° w odległości poziomej 74m od anteny sektorowej az. 100°                        | 0.3-2.0 | <1.0* | <1.0* | <1.0* | 1.3 | 0.05 | 50°28'8.0"<br>20°43'16.3" |
| 37 | PKP na az. 43° w odległości poziomej 69m od anteny sektorowej az. 0°                          | 0.3-2.0 | <1.0* | <1.0* | <1.0* | 1.3 | 0.05 | 50°28'8.4"<br>20°43'15.2" |
| 38 | PKP na az. 40° w odległości poziomej 60m od anteny sektorowej az. 0°                          | 0.3-2.0 | <1.0* | <1.0* | <1.0* | 1.3 | 0.05 | 50°28'8.4"<br>20°43'14.9" |
| 39 | PKP na az. 28° w odległości poziomej 58m od anteny sektorowej az. 0°                          | 0.3-2.0 | <1.0* | <1.0* | <1.0* | 1.3 | 0.05 | 50°28'8.4"<br>20°43'14.5" |
| 40 | PKP na az. 14° w odległości poziomej 46m od anteny sektorowej az. 0°                          | 0.3-2.0 | <1.0* | <1.0* | <1.0* | 1.3 | 0.05 | 50°28'8.0"<br>20°43'13.4" |
| 41 | PKP na az. 11° w odległości poziomej 57m od anteny sektorowej az. 0°                          | 0.3-2.0 | <1.0* | <1.0* | <1.0* | 1.3 | 0.05 | 50°28'8.4"<br>20°43'13.4" |
| 42 | PKP na az. 349° w odległości poziomej 29m od anteny sektorowej az. 0°                         | 0.3-2.0 | <1.0* | <1.0* | <1.0* | 1.3 | 0.05 | 50°28'7.7"<br>20°43'12.7" |
| 43 | PKP na az. 346° w odległości poziomej 44m od anteny sektorowej az. 0°                         | 0.3-2.0 | <1.0* | <1.0* | <1.0* | 1.3 | 0.05 | 50°28'8.0"<br>20°43'12.4" |
| 44 | PKP na az. 332° w odległości poziomej 19m od anteny sektorowej az. 0°                         | 0.3-2.0 | <1.0* | <1.0* | <1.0* | 1.3 | 0.05 | 50°28'7.3"<br>20°43'12.4" |
| 45 | PKP na az. 320° w odległości poziomej 47m od anteny sektorowej az. 0°                         | 2.0     | 1.8   | 1.8   | 1.8   | 2.3 | 0.08 | 50°28'8.0"<br>20°43'11.3" |
| 46 | PKP na az. 317° w odległości poziomej 53m od anteny sektorowej az. 0°                         | 2.0     | 1.8   | 1.8   | 1.8   | 2.3 | 0.08 | 50°28'8.0"<br>20°43'11.3" |
| 47 | DPP - w uchylonym oknie klatki schodowej, piętro 2/2, Aleja Adama Mickiewicza 11, Busko-Zdrój | 0.3-2.0 | <1.0* | <1.0* | <1.0* | 1.3 | 0.05 | 50°28'5.5"<br>20°43'13.1" |
| 48 | PKP na az. 145° w odległości poziomej 88m od anteny sektorowej az. 190°                       | 2.0     | 1.4   | 1.4   | 1.4   | 1.8 | 0.06 | 50°28'4.4"<br>20°43'15.2" |

Sprawozdanie z badań bez pisemnej zgody laboratorium nie może być powielane inaczej niż w całości.  
 Wynik przedstawione w niniejszym sprawozdaniu odnoszą się wyłącznie do badanego obiektu i do warunków i konfiguracji urządzeń w dniu wykonywania pomiarów.

|    |  |         |            |            |            |     |      |                            |
|----|--|---------|------------|------------|------------|-----|------|----------------------------|
| 49 | DPP - na balkonie mieszkania 16, piętro 3/4, os. Orła Białego 11, Busko-Zdrój  | 2.0     | <b>4.0</b> | <b>4.0</b> | <b>4.0</b> | 5.2 | 0.18 | 50°28'5.9"<br>20°43'20.6"  |
| 50 | DPP - w uchylonym oknie klatki schodowej, piętro 4/4, os. Orła Białego 11, Busko-Zdrój                                   | 2.0     | 1.4        | 1.4        | 1.4        | 1.8 | 0.06 | 50°28'5.9"<br>20°43'21.0"  |
| 51 | DPP - na balkonie mieszkania 16, piętro 3/4, Orła Białego 10, Busko-Zdrój  | 2.0     | 2.8        | 2.8        | 2.8        | 3.6 | 0.13 | 50°28'5.9"<br>20°43'18.5"  |
| 52 | DPP - na balkonie biura, piętro 1/1, Stefana Batorego 4a, Busko-Zdrój  | 0.3-2.0 | <1.0*      | <1.0*      | <1.0*      | 1.3 | 0.05 | 50°28'8.0"<br>20°43'16.7"  |
| 53 | DPP - za trwale zamkniętym oknem klatki schodowej, piętro 2/2, Stefana Batorego 4a, Busko-Zdrój                          | 0.3-2.0 | <1.0*      | <1.0*      | <1.0*      | 1.3 | 0.05 | 50°28'6.6"<br>20°43'15.6"  |
| 54 | DPP - w uchylonym oknie klatki schodowej, piętro 2/2, Stefana Batorego 4, Busko-Zdrój                                    | 2.0     | 1.5        | 1.5        | 1.5        | 1.9 | 0.07 | 50°28'7.7"<br>20°43'15.2"  |
| 55 | DPP - w uchylonym oknie biura, piętro 2/2, Stefana Batorego 2, Busko-Zdrój   | 2.0     | 3.8        | 3.8        | 3.8        | 4.9 | 0.17 | 50°28'7.7"<br>20°43'13.4"  |
| 56 | DPP - w uchylonym oknie Na korytarzu, na parterze, Stefana Batorego 2, Busko-Zdrój                                       | 0.3-2.0 | <1.0*      | <1.0*      | <1.0*      | 1.3 | 0.05 | 50°28'7.3"<br>20°43'13.8"  |
| 57 | GKP w odległości poziomej 98m od anteny radioliniowej az. 359°   | 0.3-2.0 | <1.0*      | <1.0*      | <1.0*      | 1.3 | 0.05 | 50°28'9.8"<br>20°43'12.7"  |
| 58 | DPP - w uchylonym oknie biura, piętro 1/1, Stefana Batorego 1, Busko-Zdrój   | 2.0     | 2.5        | 2.5        | 2.5        | 3.2 | 0.12 | 50°28'8.8"<br>20°43'13.4"  |
| 59 | DPP - na balkonie biura, piętro 1/1, Aleja Adama Mickiewicza 7, Busko-Zdrój  | 2.0     | 3.0        | 3.0        | 3.0        | 3.9 | 0.14 | 50°28'9.1"<br>20°43'12.0"  |
| 60 | GKP w odległości poziomej 104m od anteny sektorowej az. 0°   | 0.3-2.0 | <1.0*      | <1.0*      | <1.0*      | 1.3 | 0.05 | 50°28'10.2"<br>20°43'13.1" |
| -  | GKP w odległości poziomej 218m od anteny sektorowej az. 0°   | 0.3-2.0 | <1.0*      | <1.0*      | <1.0*      | 1.3 | 0.05 | 50°28'13.8"<br>20°43'13.1" |
| -  | DPP - w płaszczyźnie otworu okiennego biura, na parterze, Aleja Adama Mickiewicza ( brak aktualnego numeru), Busko-Zdrój | 2.0     | 1.3        | 1.3        | 1.3        | 1.7 | 0.06 | 50°28'11.3"<br>20°43'13.4" |
| 63 | GKP w odległości poziomej 129m od anteny sektorowej az. 0°   | 0.3-2.0 | <1.0*      | <1.0*      | <1.0*      | 1.3 | 0.05 | 50°28'10.9"<br>20°43'13.1" |

Sprawozdanie z badań bez pisemnej zgody laboratorium nie może być powielane inaczej niż w całości.  
 Wynik przedstawione w niniejszym sprawozdaniu odnoszą się wyłącznie do badanego obiektu i do warunków i konfiguracji urządzeń w dniu wykonywania pomiarów.

|    |   |     |     |     |     |     |      |                           |
|----|---|-----|-----|-----|-----|-----|------|---------------------------|
| 64 | DPP - w płaszczyźnie otworu okiennego sklepu, na parterze, Aleja Adama Mickiewicza 9, Busko-Zdrój | 2.0 | 1.8 | 1.8 | 1.8 | 2.3 | 0.08 | 50°28'7.3"<br>20°43'11.6" |
| 65 | DPP - w płaszczyźnie otworu okiennego sklepu, na parterze, Aleja Adama Mickiewicza 9, Busko-Zdrój | 2.0 | 2.2 | 2.2 | 2.2 | 2.8 | 0.1  | 50°28'8.0"<br>20°43'11.6" |
| 66 | DPP - w płaszczyźnie otworu okiennego sklepu, na parterze, Aleja Adama Mickiewicza 9, Busko-Zdrój | 2.0 | 2.0 | 2.0 | 2.0 | 2.6 | 0.09 | 50°28'6.6"<br>20°43'11.6" |

Pole magnetyczne (wyznaczone na podstawie pomiaru wartości natężenia pola elektrycznego)

| Nr pionu | Opis umiejscowienia pionu (punktu) pomiarowego   | Wysokość pomiaru [m] | Wartość natężenia pola magnetycznego H [A/m] <sup>1</sup> |             |         | Wartość natężenia pola magnetycznego powiększona o niepewność pomiaru <sup>4</sup> H [A/m] | Wskaźnikowa wartość poziomu emisji pól elektromagnetycznych WM <sub>H</sub> <sup>3</sup> | Współrzędne geograficzne pionu (punktu) pomiarowego <sup>2</sup> |
|----------|--|----------------------|---|-------------|---------|--|--|--|
|          |  |                      | Sonda SW-05   | Sonda SW-06 | Wartość |  |  |  |
| 1        | GKP w odległości poziomej 54m od anteny radioliniowej az. 343°                                     | 0.3-2.0              | <0.003*   | <0.003*     | <0.003* | 0.003  | 0.05   | 50°28'8.4"<br>20°43'12.0"  |
| 2        | GKP w odległości poziomej 129m od anteny radioliniowej az. 343°                                    | 0.3-2.0              | <0.003*   | <0.003*     | <0.003* | 0.003  | 0.05   | 50°28'10.6"<br>20°43'10.6"                                       |
| 3        | GKP w odległości poziomej 52m od anteny radioliniowej az. 359°                                     | 0.3-2.0              | <0.003*   | <0.003*     | <0.003* | 0.003  | 0.05   | 50°28'8.4"<br>20°43'12.7"  |
| 4        | DPP - w płaszczyźnie otworu okiennego Magazyn, na parterze, Aleja Adama Mickiewicza 9, Busko-Zdrój | 0.3-2.0              | <0.003*   | <0.003*     | <0.003* | 0.003  | 0.05   | 50°28'7.3"<br>20°43'12.4"  |
| 5        | GKP w odległości poziomej 40m od anteny sektorowej az. 0°  | 2.0                  | 0.005   | 0.005       | 0.005   | 0.007  | 0.09   | 50°28'8.0"<br>20°43'13.1"  |
| 6        | GKP w odległości poziomej 74m od anteny sektorowej az. 0°  | 2.0                  | 0.006   | 0.006       | 0.006   | 0.008  | 0.1  | 50°28'9.1"<br>20°43'13.1"  |
| 7        | GKP w odległości poziomej 41m od anteny sektorowej az. 190°  | 2.0                  | 0.007   | 0.007       | 0.007   | 0.01   | 0.13   | 50°28'5.2"<br>20°43'12.4"  |
| 8        | GKP w odległości poziomej 76m od anteny sektorowej az. 190°  | 2.0                  | 0.005   | 0.005       | 0.005   | 0.006  | 0.08   | 50°28'4.1"<br>20°43'12.0"  |
| 9        | GKP w odległości poziomej 113m od anteny sektorowej az. 190°                                       | 2.0                  | 0.003   | 0.003       | 0.003   | 0.004  | 0.06   | 50°28'3.0"<br>20°43'11.6"  |
| -        | GKP w odległości poziomej 153m od anteny sektorowej az. 190°                                       | 0.3-2.0              | <0.003*   | <0.003*     | <0.003* | 0.003  | 0.05   | 50°28'1.6"<br>20°43'11.3"  |
| -        | GKP w odległości poziomej 207m od anteny sektorowej az. 190°                                       | 0.3-2.0              | <0.003*   | <0.003*     | <0.003* | 0.003  | 0.05   | 50°28'0.1"<br>20°43'10.9"  |

Sprawozdanie z badań bez pisemnej zgody laboratorium nie może być powielane inaczej niż w całości.  
 Wynik przedstawione w niniejszym sprawozdaniu odnoszą się wyłącznie do badanego obiektu i do warunków i konfiguracji urządzeń w dniu wykonywania pomiarów.

|    |   |         |         |         |         |       |      |                           |
|----|---|---------|---------|---------|---------|-------|------|---------------------------|
| 12 | GKP w odległości poziomej 40m od anteny sektorowej az. 100°             | 2.0     | 0.008   | 0.008   | 0.008   | 0.01  | 0.14 | 50°28'6.6"<br>20°43'14.9" |
| 13 | GKP w odległości poziomej 71m od anteny sektorowej az. 100°             | 2.0     | 0.004   | 0.004   | 0.004   | 0.005 | 0.07 | 50°28'6.2"<br>20°43'16.7" |
| 14 | GKP w odległości poziomej 112m od anteny sektorowej az. 100°            | 2.0     | 0.004   | 0.004   | 0.004   | 0.005 | 0.07 | 50°28'6.2"<br>20°43'18.5" |
| 15 | GKP w odległości poziomej 148m od anteny sektorowej az. 100°            | 2.0     | 0.006   | 0.006   | 0.006   | 0.008 | 0.11 | 50°28'5.9"<br>20°43'20.3" |
| -  | GKP w odległości poziomej 219m od anteny sektorowej az. 100°            | 0.3-2.0 | <0.003* | <0.003* | <0.003* | 0.003 | 0.05 | 50°28'5.5"<br>20°43'23.9" |
| 17 | PKP na az. 233° w odległości poziomej 61m od anteny sektorowej az. 190° | 0.3-2.0 | <0.003* | <0.003* | <0.003* | 0.003 | 0.05 | 50°28'5.5"<br>20°43'10.2" |
| 18 | PKP na az. 230° w odległości poziomej 50m od anteny sektorowej az. 190° | 0.3-2.0 | <0.003* | <0.003* | <0.003* | 0.003 | 0.05 | 50°28'5.5"<br>20°43'10.9" |
| 19 | PKP na az. 218° w odległości poziomej 70m od anteny sektorowej az. 190° | 0.3-2.0 | <0.003* | <0.003* | <0.003* | 0.003 | 0.05 | 50°28'4.8"<br>20°43'10.6" |
| 20 | PKP na az. 204° w odległości poziomej 70m od anteny sektorowej az. 190° | 2.0     | 0.005   | 0.005   | 0.005   | 0.006 | 0.08 | 50°28'4.4"<br>20°43'11.3" |
| 21 | PKP na az. 202° w odległości poziomej 51m od anteny sektorowej az. 190° | 2.0     | 0.006   | 0.006   | 0.006   | 0.008 | 0.1  | 50°28'5.2"<br>20°43'12.0" |
| 22 | PKP na az. 176° w odległości poziomej 64m od anteny sektorowej az. 190° | 2.0     | 0.006   | 0.006   | 0.006   | 0.008 | 0.1  | 50°28'4.4"<br>20°43'13.1" |
| 23 | PKP na az. 178° w odległości poziomej 71m od anteny sektorowej az. 190° | 2.0     | 0.006   | 0.006   | 0.006   | 0.008 | 0.1  | 50°28'4.4"<br>20°43'13.1" |
| 24 | PKP na az. 162° w odległości poziomej 59m od anteny sektorowej az. 190° | 2.0     | 0.006   | 0.006   | 0.006   | 0.008 | 0.1  | 50°28'4.8"<br>20°43'13.8" |
| 25 | PKP na az. 150° w odległości poziomej 38m od anteny sektorowej az. 190° | 2.0     | 0.009   | 0.009   | 0.009   | 0.011 | 0.15 | 50°28'5.5"<br>20°43'13.8" |
| 26 | PKP na az. 146° w odległości poziomej 54m od anteny sektorowej az. 190° | 2.0     | 0.007   | 0.007   | 0.007   | 0.01  | 0.13 | 50°28'5.2"<br>20°43'14.2" |
| 27 | PKP na az. 144° w odległości poziomej 56m od anteny sektorowej az. 100° | 2.0     | 0.003   | 0.003   | 0.003   | 0.004 | 0.06 | 50°28'5.2"<br>20°43'14.9" |
| 28 | PKP na az. 140° w odległości poziomej 62m od anteny sektorowej az. 100° | 2.0     | 0.005   | 0.005   | 0.005   | 0.006 | 0.08 | 50°28'5.2"<br>20°43'14.9" |
| 29 | PKP na az. 128° w odległości poziomej 74m od anteny sektorowej az. 100° | 2.0     | 0.005   | 0.005   | 0.005   | 0.006 | 0.08 | 50°28'5.2"<br>20°43'16.0" |
| 30 | PKP na az. 115° w odległości poziomej 75m od anteny sektorowej az. 100° | 0.3-2.0 | <0.003* | <0.003* | <0.003* | 0.003 | 0.05 | 50°28'5.9"<br>20°43'16.3" |

Sprawozdanie z badań bez pisemnej zgody laboratorium nie może być powielane inaczej niż w całości.  
 Wynik przedstawione w niniejszym sprawozdaniu odnoszą się wyłącznie do badanego obiektu i do warunków i konfiguracji urządzeń w dniu wykonywania pomiarów.

|    |   |         |         |         |         |       |      |                           |
|----|---|---------|---------|---------|---------|-------|------|---------------------------|
| 31 | PKP na az. 111° w odległości poziomej 72m od anteny sektorowej az. 100°                       | 0.3-2.0 | <0.003* | <0.003* | <0.003* | 0.003 | 0.05 | 50°28'5.9"<br>20°43'16.3" |
| 32 | PKP na az. 86° w odległości poziomej 66m od anteny sektorowej az. 100°                        | 2.0     | 0.006   | 0.006   | 0.006   | 0.008 | 0.11 | 50°28'7.0"<br>20°43'16.3" |
| 33 | PKP na az. 88° w odległości poziomej 48m od anteny sektorowej az. 100°                        | 2.0     | 0.006   | 0.006   | 0.006   | 0.008 | 0.11 | 50°28'7.0"<br>20°43'15.6" |
| 34 | PKP na az. 72° w odległości poziomej 75m od anteny sektorowej az. 100°                        | 2.0     | 0.004   | 0.004   | 0.004   | 0.005 | 0.07 | 50°28'7.3"<br>20°43'16.7" |
| 35 | PKP na az. 60° w odległości poziomej 75m od anteny sektorowej az. 100°                        | 0.3-2.0 | <0.003* | <0.003* | <0.003* | 0.003 | 0.05 | 50°28'8.0"<br>20°43'16.3" |
| 36 | PKP na az. 57° w odległości poziomej 74m od anteny sektorowej az. 100°                        | 0.3-2.0 | <0.003* | <0.003* | <0.003* | 0.003 | 0.05 | 50°28'8.0"<br>20°43'16.3" |
| 37 | PKP na az. 43° w odległości poziomej 69m od anteny sektorowej az. 0°                          | 0.3-2.0 | <0.003* | <0.003* | <0.003* | 0.003 | 0.05 | 50°28'8.4"<br>20°43'15.2" |
| 38 | PKP na az. 40° w odległości poziomej 60m od anteny sektorowej az. 0°                          | 0.3-2.0 | <0.003* | <0.003* | <0.003* | 0.003 | 0.05 | 50°28'8.4"<br>20°43'14.9" |
| 39 | PKP na az. 28° w odległości poziomej 58m od anteny sektorowej az. 0°                          | 0.3-2.0 | <0.003* | <0.003* | <0.003* | 0.003 | 0.05 | 50°28'8.4"<br>20°43'14.5" |
| 40 | PKP na az. 14° w odległości poziomej 46m od anteny sektorowej az. 0°                          | 0.3-2.0 | <0.003* | <0.003* | <0.003* | 0.003 | 0.05 | 50°28'8.0"<br>20°43'13.4" |
| 41 | PKP na az. 11° w odległości poziomej 57m od anteny sektorowej az. 0°                          | 0.3-2.0 | <0.003* | <0.003* | <0.003* | 0.003 | 0.05 | 50°28'8.4"<br>20°43'13.4" |
| 42 | PKP na az. 349° w odległości poziomej 29m od anteny sektorowej az. 0°                         | 0.3-2.0 | <0.003* | <0.003* | <0.003* | 0.003 | 0.05 | 50°28'7.7"<br>20°43'12.7" |
| 43 | PKP na az. 346° w odległości poziomej 44m od anteny sektorowej az. 0°                         | 0.3-2.0 | <0.003* | <0.003* | <0.003* | 0.003 | 0.05 | 50°28'8.0"<br>20°43'12.4" |
| 44 | PKP na az. 332° w odległości poziomej 19m od anteny sektorowej az. 0°                         | 0.3-2.0 | <0.003* | <0.003* | <0.003* | 0.003 | 0.05 | 50°28'7.3"<br>20°43'12.4" |
| 45 | PKP na az. 320° w odległości poziomej 47m od anteny sektorowej az. 0°                         | 2.0     | 0.005   | 0.005   | 0.005   | 0.006 | 0.08 | 50°28'8.0"<br>20°43'11.3" |
| 46 | PKP na az. 317° w odległości poziomej 53m od anteny sektorowej az. 0°                         | 2.0     | 0.005   | 0.005   | 0.005   | 0.006 | 0.08 | 50°28'8.0"<br>20°43'11.3" |
| 47 | DPP - w uchylonym oknie klatki schodowej, piętro 2/2, Aleja Adama Mickiewicza 11, Busko-Zdrój | 0.3-2.0 | <0.003* | <0.003* | <0.003* | 0.003 | 0.05 | 50°28'5.5"<br>20°43'13.1" |
| 48 | PKP na az. 145° w odległości poziomej 88m od anteny sektorowej az. 190°                       | 2.0     | 0.004   | 0.004   | 0.004   | 0.005 | 0.07 | 50°28'4.4"<br>20°43'15.2" |

Sprawozdanie z badań bez pisemnej zgody laboratorium nie może być powielane inaczej niż w całości.  
 Wynik przedstawione w niniejszym sprawozdaniu odnoszą się wyłącznie do badanego obiektu i do warunków i konfiguracji urządzeń w dniu wykonywania pomiarów.

|    |  |         |              |              |         |       |      |                            |
|----|--|---------|--------------|--------------|---------|-------|------|----------------------------|
| 49 | DPP - na balkonie mieszkania 16, piętro 3/4, os. Orła Białego 11, Busko-Zdrój  | 2.0     | <b>0.011</b> | <b>0.011</b> | 0.011   | 0.014 | 0.19 | 50°28'5.9"<br>20°43'20.6"  |
| 50 | DPP - w uchylonym oknie klatki schodowej, piętro 4/4, os. Orła Białego 11, Busko-Zdrój                                   | 2.0     | 0.004        | 0.004        | 0.004   | 0.005 | 0.07 | 50°28'5.9"<br>20°43'21.0"  |
| 51 | DPP - na balkonie mieszkania 16, piętro 3/4, Orła Białego 10, Busko-Zdrój  | 2.0     | 0.007        | 0.007        | 0.007   | 0.01  | 0.13 | 50°28'5.9"<br>20°43'18.5"  |
| 52 | DPP - na balkonie biura, piętro 1/1, Stefana Batorego 4a, Busko-Zdrój  | 0.3-2.0 | <0.003*      | <0.003*      | <0.003* | 0.003 | 0.05 | 50°28'8.0"<br>20°43'16.7"  |
| 53 | DPP - za trwale zamkniętym oknem klatki schodowej, piętro 2/2, Stefana Batorego 4a, Busko-Zdrój                          | 0.3-2.0 | <0.003*      | <0.003*      | <0.003* | 0.003 | 0.05 | 50°28'6.6"<br>20°43'15.6"  |
| 54 | DPP - w uchylonym oknie klatki schodowej, piętro 2/2, Stefana Batorego 4, Busko-Zdrój                                    | 2.0     | 0.004        | 0.004        | 0.004   | 0.005 | 0.07 | 50°28'7.7"<br>20°43'15.2"  |
| 55 | DPP - w uchylonym oknie biura, piętro 2/2, Stefana Batorego 2, Busko-Zdrój   | 2.0     | 0.010        | 0.010        | 0.010   | 0.013 | 0.18 | 50°28'7.7"<br>20°43'13.4"  |
| 56 | DPP - w uchylonym oknie Na korytarzu , na parterze, Stefana Batorego 2, Busko-Zdrój                                      | 0.3-2.0 | <0.003*      | <0.003*      | <0.003* | 0.003 | 0.05 | 50°28'7.3"<br>20°43'13.8"  |
| 57 | GKP w odległości poziomej 98m od anteny radioliniowej az. 359°   | 0.3-2.0 | <0.003*      | <0.003*      | <0.003* | 0.003 | 0.05 | 50°28'9.8"<br>20°43'12.7"  |
| 58 | DPP - w uchylonym oknie biura, piętro 1/1, Stefana Batorego 1, Busko-Zdrój   | 2.0     | 0.007        | 0.007        | 0.007   | 0.009 | 0.12 | 50°28'8.8"<br>20°43'13.4"  |
| 59 | DPP - na balkonie biura, piętro 1/1, Aleja Adama Mickiewicza 7, Busko-Zdrój  | 2.0     | 0.008        | 0.008        | 0.008   | 0.01  | 0.14 | 50°28'9.1"<br>20°43'12.0"  |
| 60 | GKP w odległości poziomej 104m od anteny sektorowej az. 0°   | 0.3-2.0 | <0.003*      | <0.003*      | <0.003* | 0.003 | 0.05 | 50°28'10.2"<br>20°43'13.1" |
| -  | GKP w odległości poziomej 218m od anteny sektorowej az. 0°   | 0.3-2.0 | <0.003*      | <0.003*      | <0.003* | 0.003 | 0.05 | 50°28'13.8"<br>20°43'13.1" |
| -  | DPP - w płaszczyźnie otworu okiennego biura, na parterze, Aleja Adama Mickiewicza ( brak aktualnego numeru), Busko-Zdrój | 2.0     | 0.003        | 0.003        | 0.003   | 0.004 | 0.06 | 50°28'11.3"<br>20°43'13.4" |
| 63 | GKP w odległości poziomej 129m od anteny sektorowej az. 0°   | 0.3-2.0 | <0.003*      | <0.003*      | <0.003* | 0.003 | 0.05 | 50°28'10.9"<br>20°43'13.1" |

Sprawozdanie z badań bez pisemnej zgody laboratorium nie może być powielane inaczej niż w całości.  
 Wynik przedstawione w niniejszym sprawozdaniu odnoszą się wyłącznie do badanego obiektu i do warunków i konfiguracji urządzeń w dniu wykonywania pomiarów.

|    |   |     |       |       |                    |       |      |                           |
|----|---|-----|-------|-------|--------------------|-------|------|---------------------------|
| 64 | DPP - w płaszczyźnie otworu okiennego sklepu, na parterze, Aleja Adama Mickiewicza 9, Busko-Zdrój | 2.0 | 0.005 | 0.005 | 0.005 <sup>1</sup> | 0.006 | 0.08 | 50°28'7.3"<br>20°43'11.6" |
| 65 | DPP - w płaszczyźnie otworu okiennego sklepu, na parterze, Aleja Adama Mickiewicza 9, Busko-Zdrój | 2.0 | 0.006 | 0.006 | 0.006              | 0.008 | 0.1  | 50°28'8.0"<br>20°43'11.6" |
| 66 | DPP - w płaszczyźnie otworu okiennego sklepu, na parterze, Aleja Adama Mickiewicza 9, Busko-Zdrój | 2.0 | 0.005 | 0.005 | 0.005              | 0.007 | 0.09 | 50°28'6.6"<br>20°43'11.6" |

Pomiarów nie wykonano:

| Oznaczenie braku dostępu | Opis umiejscowienia   |
|--------------------------|---|
| A                        | W budynku biurowym pod adresem Ul. Mickiewicza 11, budynek opuszczony.                                  |
| B                        | W budynku biurowym pod adresem Mickiewicza 11, z powodu Piętro 1-2; wyłączone z użytku.                 |
| C                        | Budynek szkoły pod adresem Mickiewicza 13, z powodu braku zgody właściciela na wykonanie pomiaru.       |
| D                        | W budynku mieszkalnym pod adresem Ul. Orła Białego 10A, z powodu braku mieszkańców.                     |
| E                        | W budynku mieszkalnym pod adresem Orła Białego 9, z powodu braku dostępu, brak odzewu z domofonu.       |
| F                        | W mieszkaniach nr 4,5,6,7,8,9 pod adresem Batorego 4a, z powodu braku mieszkańców.                      |
| G                        | W budynku mieszkalnym pod adresem Mickiewicza 5, z powodu braku możliwości wejścia na teren.            |
| H                        | Teren prywatny- brak dostępu pod adresem Mickiewicza 19-20, z powodu braku możliwości wejścia na teren. |
| I                        | W budynku usługowym pod adresem Mickiewicza ( brak aktualnego numeru), budynek opuszczony.              |

W miejscach, w których nie udało się przeprowadzić pomiarów z powodu nieobecności mieszkańców, Laboratorium Badań Środowiskowych NetWorks podejmie próbę ich wykonania podczas kolejnych badań poziomu pól elektromagnetycznych prowadzonych na potrzeby ochrony środowiska.

GKP – Główny Kierunek Pomiarowy

DPP – Dodatkowy Pion Pomiarowy

PKP – Pomocniczy Kierunek Pomiarowy

<sup>1</sup> wyniki oznaczone \* są wynikami poniżej czułości zestawu pomiarowego i są wynikami spoza zakresu akredytacji. Do obliczenia wyniku skorygowanego przyjęto wartość skorelowaną z rzeczywistym wynikiem pomiaru - dolną granicę akredytowanego zakresu pomiarowego metody

<sup>2</sup> współrzędne geograficzne pozyskane metodą pomiaru bezpośredniego

<sup>3</sup> do wyznaczenia wartości wskaźnikowej  $W_{ME}$  i  $W_{MH}$  przyjęto na podstawie uzgodnień z klientem oraz rozpoznania źródeł, jako wartości dopuszczalne pola elektrycznego i magnetycznego odpowiednio 28 V/m i 0,073 A/m.

<sup>4</sup> do wyznaczenia niepewności dla wyników poniżej czułości zestawu pomiarowego, przyjęto niepewność dla minimalnej wartości z zakresu pomiarowego.

<sup>5</sup> maksymalna wartość chwilowa

Niepewność oszacowano zgodnie z dokumentem P-03 „Procedura nadzoru nad wyposażeniem” w postaci niepewności rozszerzonej wynikającej z niepewności standardowej pomnożonej przez współczynnik rozszerzenia  $k=2$ .

Całkowita szacowana niepewność rozszerzona składowej E wynosi odpowiednio:

sonda SW-05: 28.9% dla częstotliwości do 4 GHz, sonda SW-06: 33.4% dla częstotliwości do 4 GHz

Pomiar wykonany metodą 2 sond, opisaną w artykule Medycyna Pracy 2015;66(5):701-712 „Optymalizacja metodyki pomiaru wieloczęstotliwościowego pola elektromagnetycznego stacji bazowych telefonii komórkowej”.

Umiejscowienie pionów (punktów) pomiarowych przedstawiono w załączniku nr 2 do niniejszego sprawozdania.

Sprawozdanie z badań bez pisemnej zgody laboratorium nie może być powielane inaczej niż w całości.

Wynik przedstawione w niniejszym sprawozdaniu odnoszą się wyłącznie do badanego obiektu i do warunków i konfiguracji urządzeń w dniu wykonywania pomiarów.

Pomiary wykonano na terenach przeznaczonych pod zabudowę mieszkaniową w obszarze pomiarowym, w którym na podstawie uprzednio przeprowadzonych obliczeń, stwierdzono występowanie w danych zakresach częstotliwości pól elektromagnetycznych o poziomach zbliżonych do poziomów dopuszczalnych, określonych w przepisach wydanych na podstawie art. 122 ust. 1 ustawy z dnia 27 kwietnia 2001 r. – Prawo ochrony środowiska.

## 10. Omówienie wyników pomiarów

W związku z tym, że żadna z wartości zmierzonych, udokumentowanych w tabelach w pkt. 9, uzyskanych w skutek zastosowania pomiaru szerokopasmowego, powiększonego o rozszerzoną niepewność pomiaru  $U$  dla współczynnika rozszerzenia  $k = 2$  nie przekroczyła 70% najniższej dopuszczalnej wartości składowej elektrycznej lub magnetycznej pola dla objętych pomiarami zakresów częstotliwości, nie uwzględnia się poprawek pomiarowych.

W wyniku zastosowania sposobu sprawdzenia dotrzymania dopuszczalnych poziomów pól elektromagnetycznych w środowisku, zgodnie pkt 25 ppkt 1 Rozporządzenia Ministra Klimatu z dnia 17 lutego 2020 r. (Dz. U. 2022, poz. 2630), w związku z tym, że żadna z wartości wskaźnikowych, udokumentowanych w tabelach w pkt. 9 nie przekracza wartości 1, stwierdza się, że w miejscach, w których wykonano pomiary w otoczeniu instalacji radiokomunikacyjnej 1926 (27134N!) BUSKO ZDRÓJ (KKI\_BUSKOZDRO\_MICKIEWICZA11), dopuszczalne poziomy pól elektromagnetycznych w środowisku należy uznać za dotrzymane.

Miejsca niedostępne podczas wykonywania pomiarów wskazane zostały w pkt. 9 (Wyniki pomiarów) lub na załączniku przedstawiającym usytuowanie pionów pomiarowych.

## 11. Podstawa prawna

- 1) Ustawa z dnia 27 kwietnia 2001 r. Prawo ochrony środowiska (T. j. Dz. U. z 2025 r., poz. 647 z późn. zm.)
- 2) Rozporządzenie Ministra Zdrowia z dnia 17 grudnia 2019 r. w sprawie dopuszczalnych poziomów pól elektromagnetycznych w środowisku (Dz. U. 2019, poz. 2448)
- 3) Rozporządzenie Ministra Klimatu z dnia 17 lutego 2020 r. w sprawie sposobów sprawdzania dotrzymania dopuszczalnych poziomów pól elektromagnetycznych w środowisku (Dz. U. 2022, poz. 2630),
- 4) Akredytacja nr AB 419 wydana przez Polskie Centrum Akredytacji (wydanie 24, z dnia 14 stycznia 2026r.)

## 12. Spis załączników

- Załącznik 1. Lokalizacja obiektu badań
- Załącznik 2. Usytuowanie pionów (punktów) pomiarowych
- Załącznik 3. Dokumentacja fotograficzna obiektu badań

## 13. Data wydania i autoryzowania sprawozdania

Obliczenia i sprawozdanie wykonał :

Sprawozdanie autoryzował:

Karolina  
Blanik

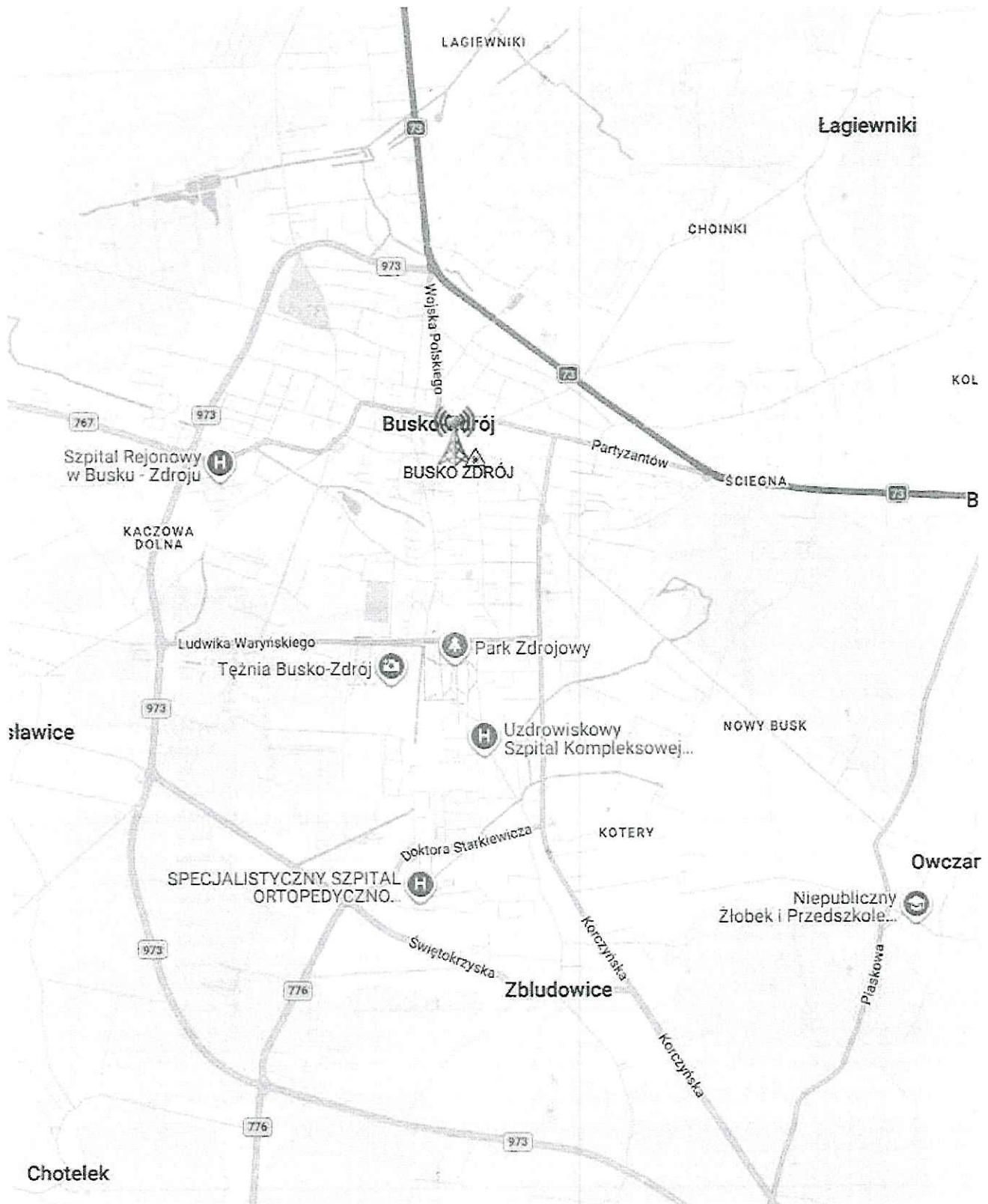
Elektronicznie podpisany  
przez Karolina Blanik  
Data: 2026.04.17 12:41:30  
+02'00'

BARBARA  
STELMASZYK

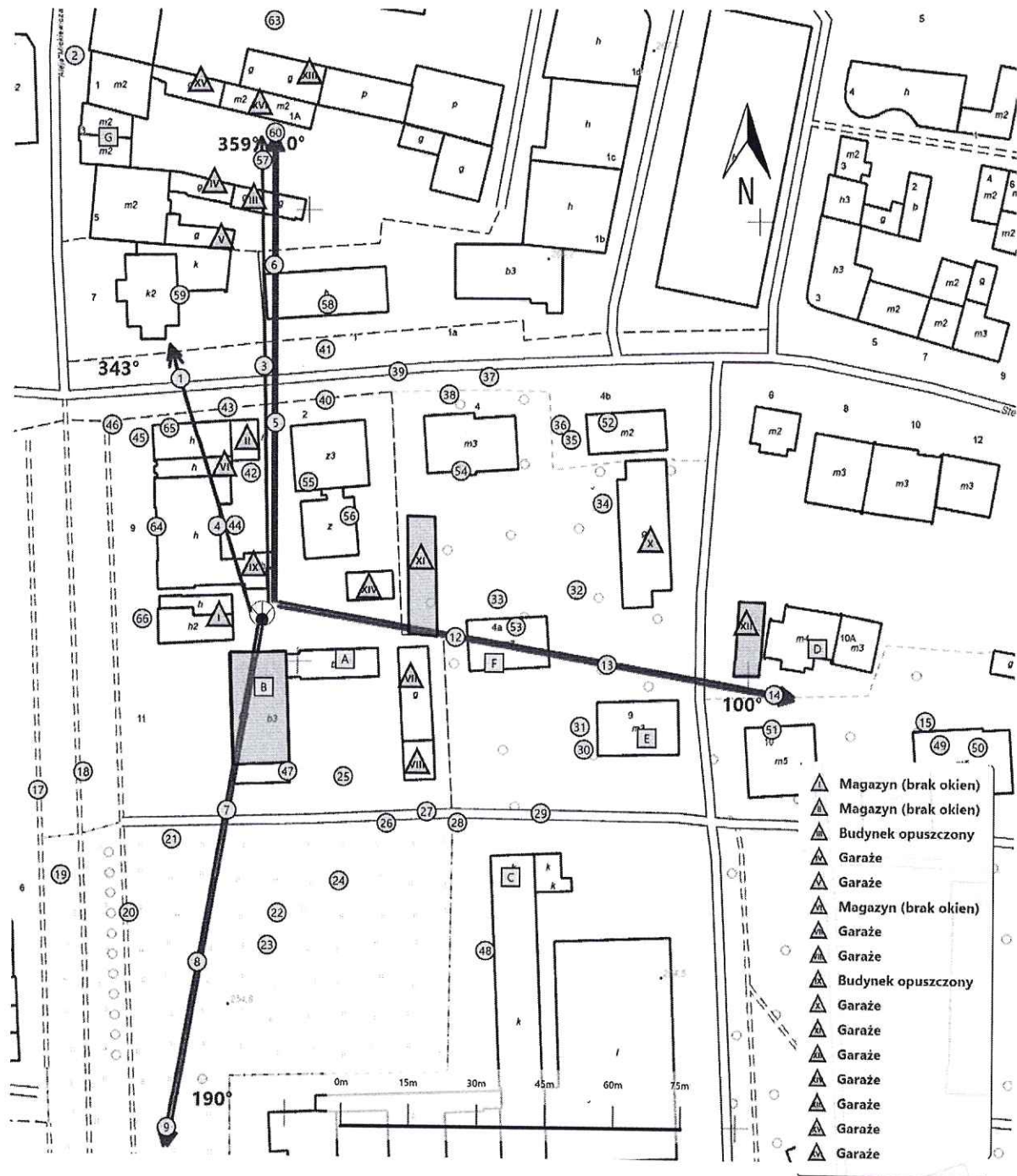
Elektronicznie podpisany  
przez BARBARA STELMASZYK  
Data: 2026.04.17 12:43:09  
+02'00'
















Koniec sprawozdania

Sprawozdanie z badań bez pisemnej zgody laboratorium nie może być powielane inaczej niż w całości.  
Wynik przedstawione w niniejszym sprawozdaniu odnoszą się wyłącznie do badanego obiektu i do warunków i konfiguracji urządzeń w dniu wykonywania pomiarów.



|                |  |
|----------------|--|
| Załącznik nr 1 | Instalacja radiokomunikacyjna Orange Polska S.A.<br>1926 (27134N!) BUSKO ZDRÓJ (KKI_BUSKOZDRO_MICKIEWICZA11)<br>Lokalizacja instalacji |
|----------------|--|



|   |   |   |  |  |  |  |
|---|---|---|--|--|--|--|
| Załącznik nr 2  | Instalacja radiokomunikacyjna Orange Polska S.A.<br>KKI_BUSKOZDRO_MICKIEWICZA11 (27134N!)<br>Usytuowanie pionów pomiarowych w otoczeniu instalacji radiokomunikacyjnej  |   |  |  |  |  |
| Legenda:  | <table style="width: 100%; border: none;"> <tr> <td style="text-align: center; width: 25%;"> <br/>                     Źródło pola elektromagnetycznego                 </td> <td style="text-align: center; width: 25%;"> <br/>                     Brak dostępu                 </td> <td style="text-align: center; width: 25%;"> <br/>                     Pion pomiarowy                 </td> <td style="text-align: center; width: 25%;"> <br/>                     Kierunek oddziaływania anten sektorowych                 </td> <td style="text-align: center; width: 25%;"> <br/>                     Kierunek oddziaływania anten radioliniowych                 </td> </tr> </table> | <br>Źródło pola elektromagnetycznego | <br>Brak dostępu                              | <br>Pion pomiarowy                                | <br>Kierunek oddziaływania anten sektorowych | <br>Kierunek oddziaływania anten radioliniowych |
| <br>Źródło pola elektromagnetycznego | <br>Brak dostępu   | <br>Pion pomiarowy                   | <br>Kierunek oddziaływania anten sektorowych | <br>Kierunek oddziaływania anten radioliniowych |  |  |



Załącznik nr 3

Instalacja radiokomunikacyjna Orange Polska S.A.  
1926 (27134N!) BUSKO ZDRÓJ (KKI\_BUSKOZDRO\_MICKIEWICZA11)  
Dokumentacja fotograficzna